

CURVE25519

INWIEFERN TRAGEN DIE MATHEMATISCHEN
EIGENSCHAFTEN VON CURVE25519
ZU IHRER SICHERHEIT UND EFFIZIENZ BEI?

TOM PILGRAM

APRIL 2025

GRUPPENSTRUKTUR

$$\mathcal{E} : y^2 = x^3 + 486662x^2 + x$$

$$\mathcal{E}(\mathbb{F}_{p^2}) = \{\mathcal{O}\} \cup \{(x, y) \in \mathbb{F}_{p^2} : y^2 = x^3 + Ax^2 + x\}$$

$$A = 486662$$

$$p = 2^{255} - 19$$

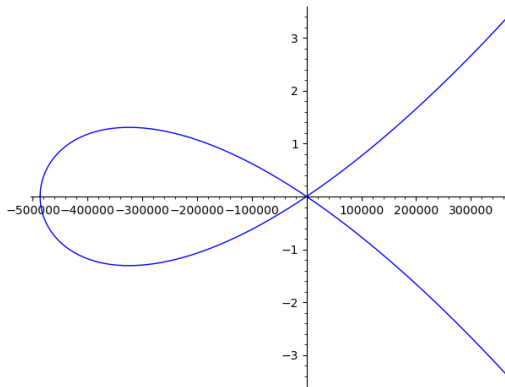
$$\mathcal{E}'(\mathbb{F}_{p^2}) = \{\mathcal{O}\} \cup (\mathcal{E}(\mathbb{F}_{p^2}) \cap (\mathbb{F}_p \times \mathbb{F}_p))$$

$$\#\mathcal{E}'(\mathbb{F}_{p^2}) = 8l$$

$$l = \#\langle P \rangle$$

$$= 2^{252} + 0x14def9dea2f79cd65812631a5cf5d3ed$$

$$X(P) = 9$$



GRUPPENSTRUKTUR

Gruppenoperationen.

Seien $P, Q \in \mathcal{E}(\mathbb{F}_{p^2})$:

Neutrales Element : \mathcal{O} (Punkt im Unendlichen)

Punktaddition : $P \oplus Q$

Inverses Element : $\ominus(x, y) = (x, -y)$

$$P \oplus (\ominus P) = P \ominus P = \mathcal{O}$$

Skalarprodukt : $[k]P = \underbrace{P \oplus \cdots \oplus P}_{k\text{-Mal}}$

X25519

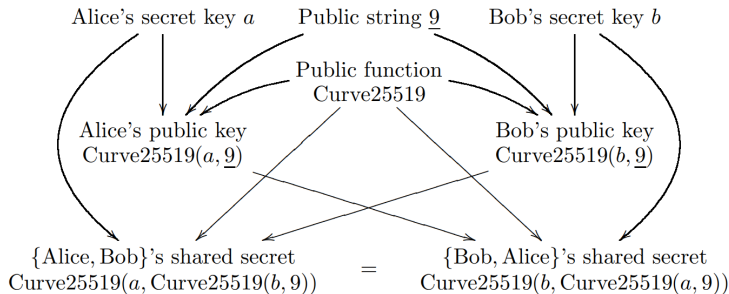
Definition: X25519.

$$\mathcal{K}_{pr} = \{0, 8, 16, 24, \dots, 248\} \times \{0, 1, \dots, 255\}^{30} \times \{64, 65, 66, \dots, 127\}$$

$$\mathcal{K}_{pub} = \{0, 1, \dots, 255\}^{32}$$

$$X25519 : \mathcal{K}_{pr} \times \mathcal{K}_{pub} \longrightarrow \mathcal{K}_{pub}$$

$$(n, q) \longmapsto X([n]Q) \text{ mit } X(Q) = q$$



$$By^2 = x^3 + Ax^2 + x$$

Definition: Montgomery Curve.

$$\mathcal{E}_{(A,B)} : By^2 = x^3 + Ax^2 + x, \quad B(A^2 - 4) \neq 0$$

Punktoperationen $P = (x_P, y_P)$, $Q = (x_Q, y_Q)$

Punktverdopplung

$$x_{[2]P} = B\lambda^2 - 2x_P - A$$

$$y_{[2]P} = \lambda(x_P - x_{[2]P}) - y_P$$

$$\lambda = (3x_P^2 + 2Ax_P + 1)/2By_P$$

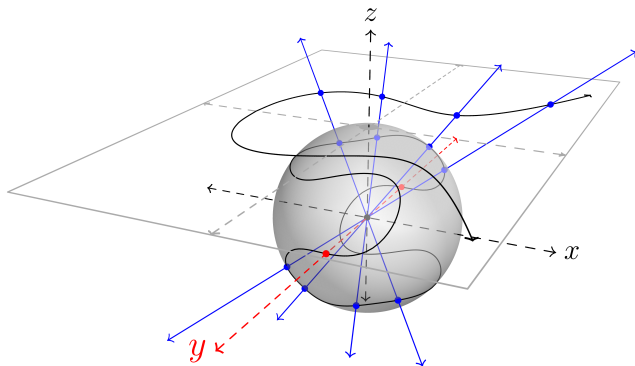
Punktaddition

$$x_{\oplus} = B\lambda^2 - (x_P + x_Q) - A$$

$$y_{\oplus} = \lambda(x_P - x_{\oplus}) - y_P$$

$$\lambda = (y_Q - y_P)/(x_Q - x_P)$$

$$\mathbb{P}^2(\mathbb{K})$$



Definition:
Projektiver Raum.

$$\mathbb{P}^n(\mathbb{K}) = (\mathbb{K}^{n+1} \setminus \{0\}) / \sim$$

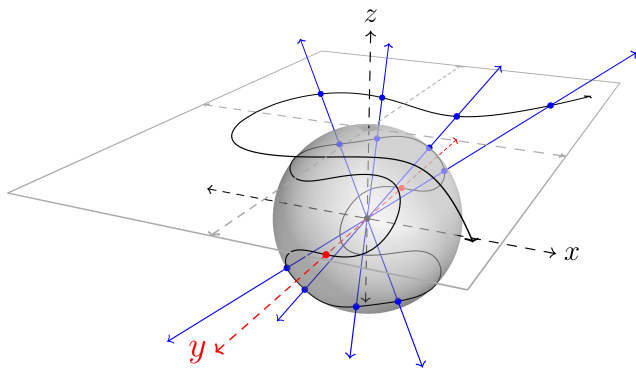
mit der Äquivalenzrelation

$$\sim: x \sim y \Leftrightarrow \exists \lambda \in \mathbb{K} \setminus \{0\} : x = \lambda y.$$

$$P = (X : Y : Z) \in \mathbb{P}^2(\mathbb{K})$$

$$(X : Y : Z) \sim (\lambda X : \lambda Y : \lambda Z)$$

$$\mathbb{P}^2(\mathbb{K})$$



$$(x, y) = \left(\frac{X}{Z}, \frac{Y}{Z} \right)$$

$$\mathcal{E}_{(A,B)} : BY^2Z = X^3 + AX^2Z + XZ^2 \subseteq \mathbb{P}^2$$

$$(i) \ Z \neq 0$$

Alle Punkte der affinen Kurve liegen auf der Ebene $(x : y : 1)$

$$(ii) \ Z = 0$$

$$0 = X^3 \Leftrightarrow X = 0 \text{ und } Y \text{ beliebig}$$

$$\mathcal{O} = (0 : 1 : 0)$$

MONTGOMERY LADDER

Definition: Montgomery Ladder.

Algorithmus zur Skalarmultiplikation auf Montgomery-Kurven:

- Berechnung nur mit x -Koordinaten
- Konstante Laufzeit

$$\mathbf{x} : \mathcal{E} \rightarrow \mathcal{E}/\langle \Theta \rangle = \mathbb{P}^1$$

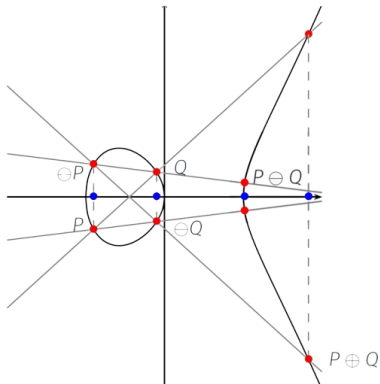
$$\mathbf{x} : P \longmapsto \begin{cases} (X_P : 1) & \text{für } P = (X_P : Y_P : 1), \\ (1 : 0) & \text{für } P = \mathcal{O} = (0 : 1 : 0). \end{cases}$$

MONTGOMERY LADDER

Definition: Pseudo-Operationen.

$$\mathbf{xDBL} : \mathbf{x}(P) \mapsto \mathbf{x}([2]P)$$

$$\mathbf{xADD} : (\mathbf{x}(P), \mathbf{x}(Q), \mathbf{x}(P \ominus Q)) \mapsto \mathbf{x}(P \oplus Q)$$



MONTGOMERY LADDER

xDBL

$$\begin{aligned}x_{[2]P} &= B\lambda^2 - 2x_P - A \\&= \frac{(3x_P + 2Ax_P + 1)^2}{4By_P^2} \\&\quad - 2x_P - A \\&= \frac{(x_P^2 - 1)^2}{4(x_P^3 + Ax_P^2 + x_P)}\end{aligned}$$

xADD

$$\begin{aligned}&x_{P \oplus Q} x_{P \ominus Q} \\&= \left(B \left(\frac{(y_Q - y_P)^2}{(x_Q - x_P)^2} \right) - (x_P + x_Q) - A \right) \\&\quad \cdot \left(B \left(\frac{(-y_Q - y_P)^2}{(x_Q - x_P)^2} \right) - (x_P + x_Q) - A \right) \\&= \frac{(x_Q x_P - 1)^2}{(x_Q - x_P)^2}\end{aligned}$$

- Inversionen sind in endlichen Körpern rechenintensiv
- Projektive Koordinaten vermeiden direkte Inversion
- Darstellung der x -Koordinate als Bruch $\frac{X}{Z}$
- Rückwandlung in die affine Koordinate durch $x = XZ^{p-2}$

MONTGOMERY LADDER

Notation

$$(X_P : Z_P) := \mathbf{x}(P), \quad (X_Q : Z_Q) := \mathbf{x}(Q)$$

$$(X_{\oplus} : Z_{\oplus}) := \mathbf{x}(P \oplus Q), \quad (X_{\ominus} : Z_{\ominus}) := \mathbf{x}(P \ominus Q)$$

xDBL

$$X_{[2]P} = (X_P^2 - Z_P^2)^2$$

$$Z_{[2]P} = 4X_P Z_P (X_P^2 + AX_P Z_P + Z_P^2)$$

xADD

$$X_{\oplus} = 4(X_P X_Q - Z_P Z_Q) Z_{\ominus}$$

$$Z_{\oplus} = 4(X_P Z_Q - Z_P X_Q) X_{\ominus}$$

MONTGOMERY LADDER

xDBL

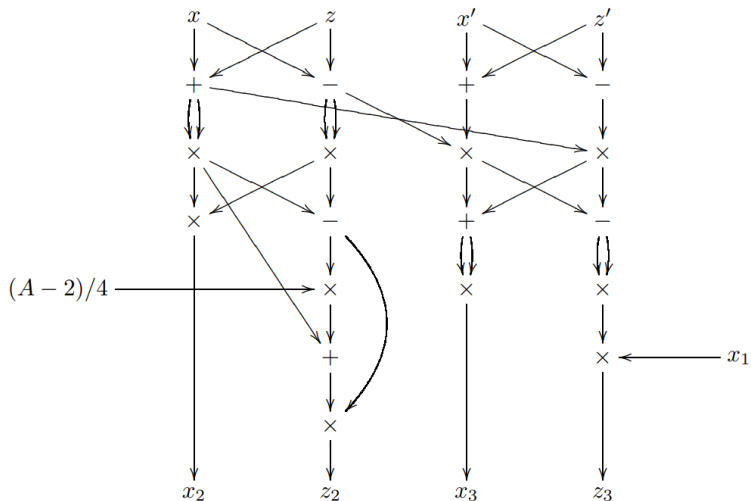
$$X_{[2]P} = (X_P + Z_P)^2 (X_P - Z_P)^2$$

$$Z_{[2]P} = (4X_P Z_P)((X_P - Z_P)^2 + ((A + 2)/4)(4X_P Z_P))$$

xADD

$$X_{\oplus} = Z_{\ominus}[(X_P - Z_P)(X_Q + Z_Q) + (X_P + Z_P)(X_Q - Z_Q)]^2$$

$$Z_{\oplus} = X_{\ominus}[(X_P - Z_P)(X_Q + Z_Q) - (X_P + Z_P)(X_Q - Z_Q)]^2$$



MONTGOMERY LADDER

Algorithmus: Montgomery Ladder

Input: (1) $k = \sum_{i=0}^{l-1} k_i 2^i$ mit $k_{l-1} = 1$ // Binärdarstellung des Skalars

(2) (X_P, Z_P) , so dass $(X_P : Z_P) = \mathbf{x}(P)$

Output: (X_k, Z_k) , so dass $(X_k : Z_k) = \mathbf{x}([k]P)$

1: $(x_0, x_1) \leftarrow ((X_P, Z_P), \text{xDBL}(X_P, Z_P))$ // $x_1 - x_0$ ist immer (X_P, Z_P)

2: **for** $i = l - 2$ **downto** 0 **do**

3: **if** $k_i = 0$ **then**

4: $(x_0, x_1) \leftarrow (\text{xDBL}(x_0), \text{xADD}(x_0, x_1, (X_P, Z_P)))$

5: **else**

6: $(x_0, x_1) \leftarrow (\text{xADD}(x_0, x_1, (X_P, Z_P)), \text{xDBL}(x_1))$

7: **return** x_0 // $x_0 = \mathbf{x}([k]P)$, $x_1 = \mathbf{x}([k+1]P)$

SCA

Definition: Side-channel attack.

Angriff, der physische Informationen wie Zeit oder Stromverbrauch nutzt, um geheime Daten aus einem kryptographischen System zu erhalten

Beispiele Schwachstellen:

- Verzweigungen basierend auf geheimen Bits
z.B. $\text{if}(\mathbf{b}_i == 0)$: mit \mathbf{b} geheim
- Speicherzugriff mit einem geheimen Index z.B. $\mathbf{x} = \mathbf{T}[\mathbf{b}]$ mit \mathbf{b} geheim

MONTGOMERY LADDER

SWAP() Bedingter Tausch in konstanter Zeit

Input: (1) $b \in \{0, 1\}$

(2) (x_0, x_1)

// x_0 und x_1 als n-bit Strings

Output: (x_b, x_{b-1})

1: $\mathbf{b} \leftarrow (b, \dots, b)_n$

2: $\mathbf{v} \leftarrow \mathbf{b} \wedge (x_0 \text{ xor } x_1)$

3: **return** $(x_0 \text{ xor } \mathbf{v}, x_1 \text{ xor } \mathbf{v})$

MONTGOMERY LADDER

Algorithmus: Montgomery Ladder mit SWAP()

Input: (1) $k = \sum_{i=0}^{l-1} k_i 2^i$ mit $k_{l-1} = 1$
(2) (X_P, Z_P) , so dass $(X_P : Z_P) = \mathbf{x}(P)$

Output: (X_k, Z_k) , so dass $(X_k : Z_k) = \mathbf{x}([k]P)$

```
1:  $(x_0, x_1) \leftarrow ((X_P, Z_P), \text{xDBL}(X_P, Z_P))$ 
2: for  $i = l - 2$  downto 0 do
3:    $(x_0, x_1) \leftarrow \text{SWAP}((k_{i+1} \text{ xor } k_i), (x_0, x_1))$ 
4:    $(x_0, x_1) \leftarrow (\text{xDBL}(x_0), \text{xADD}(x_0, x_1, (X_P, Z_P)))$ 
5:  $(x_0, x_1) \leftarrow \text{SWAP}(k_0, (x_0, x_1))$ 
6: return  $x_0$ 
```

\mathbb{F}_{p^2}

Definition: \mathbb{F}_{p^2} .

Sei δ das kleinste nicht-quadratische Element in \mathbb{F}_p .

Dann ist die quadratische Erweiterung von \mathbb{F}_p definiert als

$$\mathbb{F}_{p^2} = \mathbb{F}_p(\sqrt{\delta}) = \{a + b\sqrt{\delta} \mid a, b \in \mathbb{F}_p\}.$$

Bemerkung:

- Genau $(p-1)/2$ nicht-quadratische Zahlen in \mathbb{F}_p
- α ist nicht-quadratisch $\Leftrightarrow \alpha/\delta$ ist eine Quadratzahl

$$\mathbb{F}_{p^2}$$

Reguläre Kurve:

$$\mathcal{E}_A : y^2 = x^3 + Ax^2 + x \quad \text{über } \mathbb{F}_p$$

$$\mathcal{E}'(\mathbb{F}_{p^2}) = \{\mathcal{O}\} \cup (\mathcal{E}(\mathbb{F}_{p^2}) \cap (\mathbb{F}_p \times \mathbb{F}_p)) \quad \mathcal{E}_A : y^2 = x^3 + Ax^2 + x$$

Quadratischer Twist:

$$\mathcal{E}_{(A,B)} : By^2 = x^3 + Ax^2 + x \quad \text{über } \mathbb{F}_p \text{ (B nicht-quadratisch)}$$

$$\mathcal{E}''(\mathbb{F}_{p^2}) = \{\mathcal{O}\} \cup (\mathcal{E}(\mathbb{F}_{p^2}) \cap (\mathbb{F}_p \times \sqrt{\delta}\mathbb{F}_p))$$

$$\mathcal{E}(\mathbb{F}_{p^2}) = \mathcal{E}'(\mathbb{F}_{p^2}) \cup \mathcal{E}''(\mathbb{F}_{p^2})$$

Montgomery Ladder auf der regulären Kurve und
ihrem quadratischen Twist gleich, da sie nicht von B abhängig ist

\mathcal{K}_{pub}

$$\mathcal{K}_{pub} = \{0, 1, \dots, 255\}^{32}$$

keine Validierung des öffentlichen Schlüssels notwendig

$$2^{255} - 19$$

Bedingungen:

- Primzahl nahe einer Zweierpotenz
 - Schnelle Modulo-Berechnungen
- Knapp unter 32k Bits (k: Ganzzahl)
 - Öffentlicher Schlüssel kann als 32-bit Words mit geringer Speicherverschwendung übermittelt werden

Optionen:

$$\{2^{255} + 95, 2^{255} - 19, 2^{255} - 31, 2^{254} + 79, 2^{253} + 51, 2^{253} + 39\}$$

$2^{255}-19$, da 19 kleiner als 31,39,51,79,95

$$X(P) = 9$$

Satz: Satz von Lagrange. Sei G eine endliche Gruppe und H eine Untergruppe von G . Dann gilt

$$\#H \mid \#G.$$

Für jeden Punkt $Q \in \mathcal{E}'(\mathbb{F}_{p^2})$ gilt folglich:

$$\#\langle Q \rangle \in \{1, 2, 4, 8, l, 2l, 4l, 8l\}$$

$$(\#\mathcal{E}'(F_{p^2}) = 8l)$$

- 1, 2, 4, 8 zu klein
- Vielfache von l für den Pohlig-Hellman-Algorithmus anfällig
→ nur l geeignet

$$\begin{aligned} X(P) &= \min\{x \mid Q = (x, y) \in \mathcal{E}'(\mathbb{F}_{p^2}), \#\langle Q \rangle = l\} \\ &= 9 \end{aligned}$$

SSCA

Definition: Small subgroup confinement attack.

Angriff, der kleine Untergruppen nutzt, um Teile des privaten Schlüssels zu enthüllen

Beispiele:

- Pohlig-Hellman-Algorithmus: Nur wenn $\# \langle P \rangle$ eine zusammengesetzte Zahl ist
- Ungültiger Generator: Bewusste Auswahl eines Generator aus einer kleinen Untergruppe

Öffentlicher Schlüssel von B : H , Generator einer kleinen Untergruppe

Gemeinsamer Schlüssel von A : aH , welcher ebenfalls in der Untergruppe liegt

$$a \bmod \# \langle H \rangle$$

\mathcal{K}_{pr}

CLAMP() Anpassung des Skalars für X25519

Input: $k \in \{0, 1, \dots, 255\}^{32}$

// 32-Byte zufällig generierter Wert

Output: Angepasster Skalar k'

```
1:    k[0] ← k[0] ∧ 248                // 248 = (11111000)2
2:    k[31] ← k[31] ∧ 127              // 127 = (01111111)2
3:    k[31] ← k[31] ∨ 64               // 64 = (01000000)2
4:    k' ← k
5:    return k'
```

\mathcal{K}_{pr}

$$\begin{array}{l|l|l}
 1: & k[0] \wedge (11111000)_2 & \text{Niedrigstwertige 3 Bits} \leftarrow 0 \\
 2: & k[31] \wedge (01111111)_2 & \text{Das höchstwertige Bit} \leftarrow 0 \\
 3: & k[31] \vee (01000000)_2 & \text{Das zweithöchstwertige Bit} \leftarrow 1
 \end{array} \quad \left| \quad \begin{array}{l} 8 \mid k \\ k \leq 2^{255} - 1 \\ k \geq 2^{254} \end{array} \right.$$

$$\begin{aligned}
 \mathcal{K}_{pr} &= \{0, 8, 16, 24, \dots, 248\} \times \{0, 1, \dots, 255\}^{30} \times \{64, 65, 66, \dots, 127\} \\
 &= \{\underline{n} : n \in 2^{254} + 8\{0, 1, \dots, 2^{251} - 1\}\}
 \end{aligned}$$

- SSCA: $k \equiv 0 \pmod{2^i}$ für $1 \leq i \leq 3$
- Vermeidung von kleinen Skalaren
- Skalar zwischen 2^{251} und $2^{252} - 1 (\approx \# \langle P \rangle)$
(Verschiebung von 3 Bits durch Faktor 8) $\rightarrow 2^{254} \leq k \leq 2^{255} - 1$
- SCA: Feste effektive Schlüssellänge von 255 Bits erzwingt konstante Iterationen

486662

Bedingungen:

- $(A - 2)/4$ kleine Ganzzahl (Montgomery Ladder)
- $\#\mathcal{E}'(\mathbb{F}_{p^2}) = 8l_1$
- $\#\mathcal{E}''(\mathbb{F}_{p^2}) = 4l_2$

Optionen:

$\{358990, 464586, 486662\}$

486662, da sonst l_1 oder l_2 kleiner als 2^{252}

QUELLEN

- [1] Daniel J. Bernstein, Curve25519: new Diffie-Hellman speed records, 2006.
- [2] Craig Costello and Benjamin Smith, Montgomery curves and their arithmetic: The case of large characteristic fields, 2017.
- [3] Daniel J. Bernstein and Tanja Lange, Montgomery curves and the Montgomery ladder, 2017.
- [4] Risen Crypto, Clamping & Cofactor clearing in Curve25519, 2022, <https://risencrypto.github.io/CofactorClearing> - (28.03.2025 23:10).
- [5] SafeCurve, choosing safe curves for elliptic-curve cryptography, 2013, <https://safecurves.cr.yp.to/twist.html> - (29.03.2025 21:02).